

03

## Выбор критерия эффективности перемешивания газов на примере поперечной струи в сверхзвуковом потоке в присутствии искровых разрядов

© Л.С. Волков, А.А. Фирсов

Объединенный институт высоких температур РАН, Москва, Россия  
E-mail: volkov.ls@phystech.su

Поступило в Редакцию 28 октября 2025 г.

В окончательной редакции 22 декабря 2025 г.

Принято к публикации 22 декабря 2025 г.

Проведено сравнение четырех критериев перемешивания газов. Сравнение осуществлялось на примере данных, полученных численным моделированием поперечной околосзвуковой струи газа в сверхзвуковом потоке воздуха в присутствии искровых разрядов. Исследованы взаимосвязь критериев и их поведение в зависимости от структуры течения. Показано, что мгновенные значения критериев не связаны напрямую, однако при осреднении по времени в большинстве случаев дают согласующиеся между собой результаты, что позволяет выбрать приемлемый критерий в экспериментальных исследованиях.

**Ключевые слова:** сверхзвуковой поток, инжекция, смешение, искровой разряд.

DOI: 10.61011/PJTF.2026.08.62683.20546

Поперечная вторичная околосзвуковая струя, инжектируемая в сверхзвуковой поток воздуха через отверстие на плоской стенке, — одна из стандартных конфигураций течения, на примере которых исследуются способы интенсификации перемешивания газов в условиях сверхзвукового потока [1]. Исследование новых способов быстрого перемешивания газов (например, топлива с воздухом) — актуальная задача для усовершенствования камер сгорания со сверхзвуковым потоком на входе [2]. Об этом свидетельствует большое разнообразие предлагаемых стратегий перемешивания: например, за счет подбора оптимальных параметров струи для случаев разной геометрической конфигурации сверхзвукового тракта [3,4], модуляции расхода газа [5] и использования других активных методов [6].

В настоящее время в расчетных работах, как правило, используется следующий интегральный критерий эффективности перемешивания струи с потоком [1]:

$$\eta_m(\rho, U, W) = \frac{\int W_r \rho U dA}{\int W \rho U dA}, \quad W_r = \min \left\{ W, W_{st} \frac{1 - W}{1 - W_{st}} \right\}. \quad (1)$$

Интегралы берутся по некоторой плоскости, перпендикулярной потоку,  $W$  — массовая доля газа струи,  $U$  — продольная компонента скорости,  $\rho$  — плотность,  $W_{st}$  — массовая доля газа струи в стехиометрической смеси,  $W_r$  — массовая доля топлива, способного прореагировать с воздухом в пределах некоторого элементарного объема.

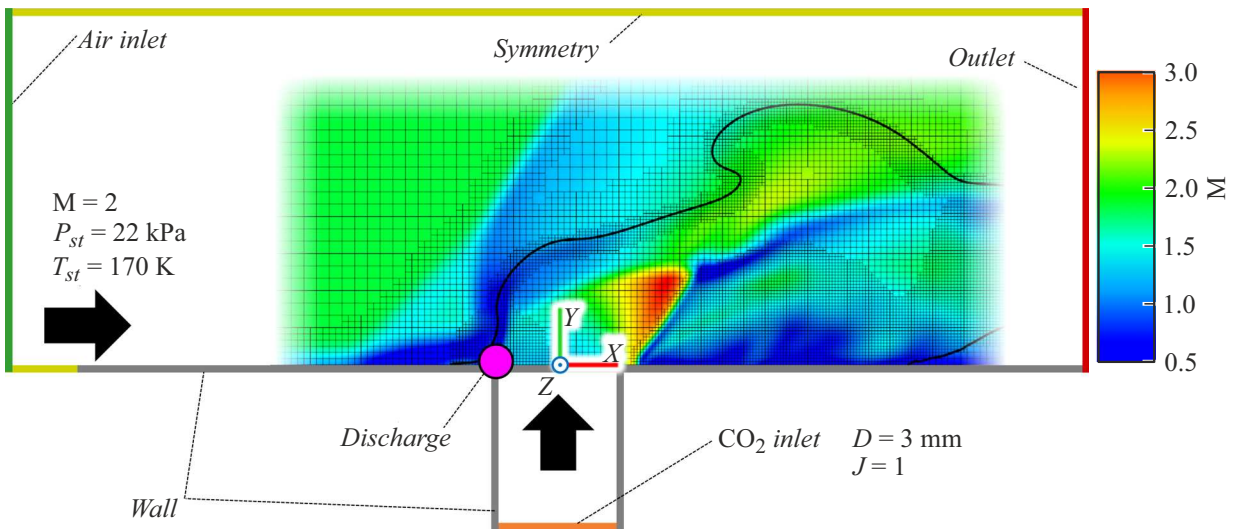
Так,  $\eta_m = 0$  означает отсутствие перемешивания, а  $\eta_m = 1$  означает отсутствие областей с богатой топливно-воздушной смесью (что впрочем не исключает наличия областей с бедной смесью). В [7] показано, что в случае горения  $\eta_m$  коррелирует с коэффициентом

сгорания топлива. В [8] отмечено, что важно подставлять в (1) мгновенные величины, а не осредненные, поскольку скорость горения определяется мгновенной концентрацией веществ в каждой точке.

Однако в экспериментах  $\eta_m$  не применяется, поскольку он требует измерения скорости, плотности и химического состава смеси в большом количестве точек. В работах, посвященных струям в сверхзвуковом и дозвуковом потоке, можно встретить косвенные способы количественного описания перемешивания. Например, в [9] измеряется площадь поперечного сечения засеянной струи, подсвеченной лазерным ножом. Таким же способом в [10,11] была визуализирована и представлена в явном виде на рисунках граница струи в заданных плоскостях, что делает возможным нахождение длины этой границы. В работе [12] методом планарной лазерно-индуцированной флуоресценции (PLIF) исследовано мгновенное распределение концентрации вещества струи, построены поля и профили концентрации. Снижение концентрации косвенно свидетельствует об улучшении смешения.

В настоящее время остается неизученной связь между интегральным критерием (1) и более простыми критериями, потенциально применимыми в экспериментах.

Цель настоящей работы — сравнить несколько критериев перемешивания газов на примере конкретных нестационарных данных, полученных путем численного моделирования, и таким образом определить, какие критерии наилучшим образом соответствуют (1) и какие они имеют преимущества и недостатки для их применения в экспериментальных исследованиях. Сравнение производится двумя способами. Сначала сравниваются значения критериев как функций времени для одного набора нестационарных данных. Затем сравниваются



**Рис. 1.** Расчетная область, граничные условия и местоположение источника тепла, моделирующего разряд. Показано сечение расчетной сетки, мгновенное распределение числа Маха и условная граница струи (30 % массовой доли  $\text{CO}_2$ , черная кривая).

средние значения критериев, рассчитанных по нескольким наборам данных.

Данные для анализа получены путем численного моделирования течения, формирующегося при поперечной инжекции трансзвуковой струи углекислого газа ( $\text{CO}_2$ ) в сверхзвуковой поток воздуха в присутствии искровых разрядов на передней кромке инжектора. Постановка расчетной задачи обусловлена преимуществом по отношению к прошлым работам [13,14], которые были посвящены интенсификации перемешивания сверхзвукового потока с поперечной струей газа с помощью искровых разрядов, способствующих формированию возмущений в сдвиговом слое на границе струи.

Расчетная область изображена на рис. 1. Ввиду симметрии задачи моделировалось только полупространство  $Z > 0$ . Параметры сверхзвукового потока: число Маха  $M = 2$ , статическое давление  $P_{st} = 22 \text{ kPa}$ , статическая температура  $T_{st} = 170 \text{ K}$ , скорость  $U_\infty = 500 \text{ m/s}$ . Параметры струи: диаметр инжектора  $D = 3 \text{ mm}$ , коэффициент динамического напора струи и потока  $J = 1$ , скорость в центре инжектора (в отсутствие разрядов)  $U_{jet} = 270 \text{ m/s}$ . Разряды моделировались как импульсный нагрев в некоторой ограниченной области на кромке инжектора (рис. 1). В каждом разряде выделялась энергия  $E = 25 \text{ mJ}$  за время  $2 \mu\text{s}$ . Частота разрядов  $f$  задавалась в диапазоне от 8 до 50 kHz.

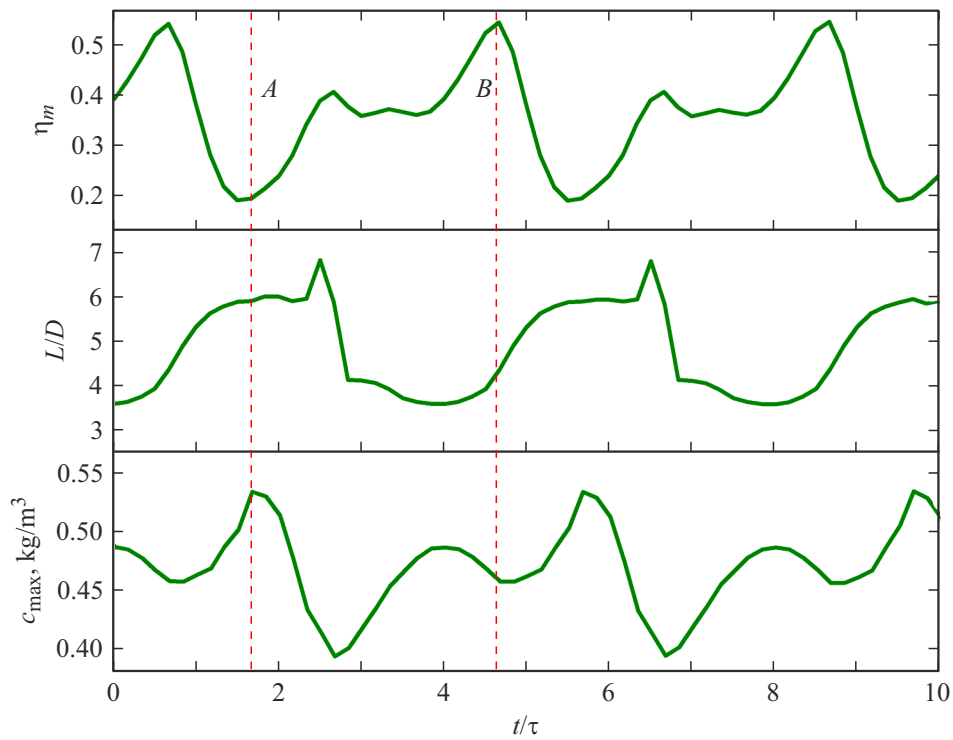
Численное моделирование было осуществлено в программном комплексе FlowVision методом URANS. В [13] была показана сеточная сходимость решения и проведена валидация метода на примере частного случая поперечной струи в сверхзвуковом потоке. Сравнение результатов моделирования с экспериментальными данными, приведенное в работе [14], свидетельствует о том, что выбранный метод расчета корректно определяет форму и частоту поперечных вихрей в сдвиговом слое на

границе струи, а также корректно определяет характер течения в присутствии искровых разрядов. В настоящей работе использовалась сетка с динамической адаптацией к градиенту плотности и концентрации  $\text{CO}_2$  (рис. 1). Шаг по времени составлял от 30 ns (во время разряда) до 100 ns (в промежутке между разрядами).

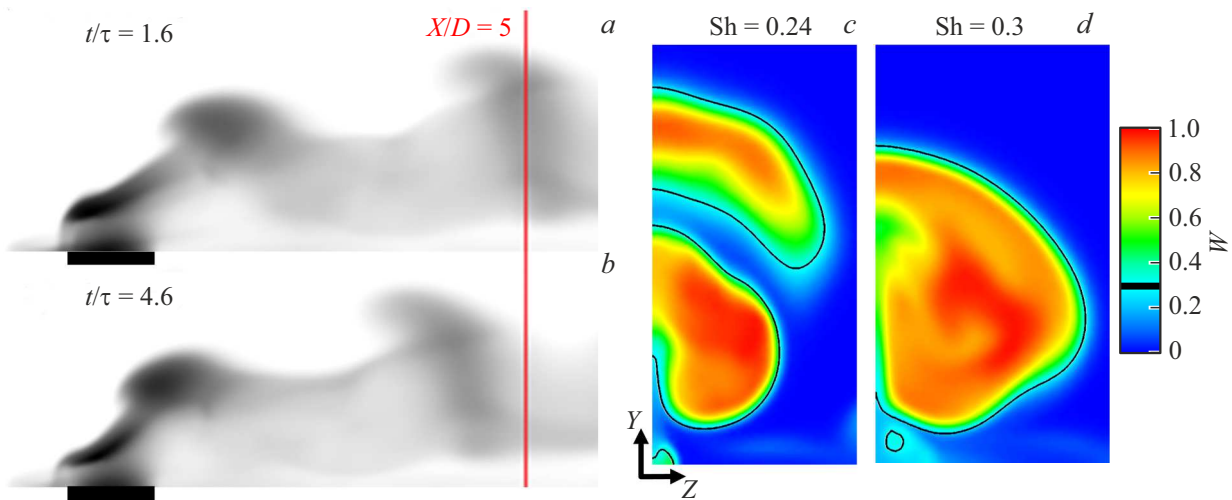
Четыре критерия эффективности перемешивания рассчитывались по полученным данным в плоскости  $X/D = 5$ , т.е. в плоскости, перпендикулярной свободному сверхзвуковому потоку и расположенной на  $5D$  ниже по течению от центра инжектора. На рис. 1 отображены направления осей  $X$ ,  $Y$ ,  $Z$ . За нуль отсчета (начало координат) принят центр отверстия инжектора. Первый критерий — интегральный  $\eta_m$  (1). Ввиду того что смесь воздуха с  $\text{CO}_2$  не реагирующая, значение  $W_{st}$  было произвольно задано равным 0.3. Второй критерий  $L$  — длина изолинии  $W = 0.3$  в заданной плоскости. Третий критерий  $c_{max}$  — максимальная массовая концентрация  $\text{CO}_2$  в этой же плоскости. Четвертый критерий  $S$  — площадь области, ограниченной изолинией  $W = 0.3$ , т.е. площадь сечения струи.

На рис. 2 приведены графики мгновенных значений  $\eta_m$ ,  $L$ ,  $c_{max}$ . Критерий  $S$  не отображен, поскольку он ведет себя аналогично  $L$ . Для двух моментов времени ( $A$  и  $B$ ) также приведены изображения, полученные путем интегрирования концентрации  $\text{CO}_2$  вдоль направления оси  $Z$  (рис. 3). Ось  $Z$  ориентирована перпендикулярно плоскости рисунка (рис. 1). Ее нуль (начало координат) находится в центре отверстия инжектора.

Дополнительно отображено распределение  $W$  в плоскости  $X/D = 5$  в случаях с разрядами на частотах  $Sh = 0.24$  и  $0.3$  — в те моменты времени, когда через данную плоскость проходит очередное крупное возмущение в сдвиговом слое на границе струи (поперечный вихрь). Здесь характеристическое время  $\tau = D/U_\infty$  и



**Рис. 2.** Графики критериев перемешивания для случая отсутствия разрядов. Для этих данных коэффициент корреляции  $c_{\max}$  и  $\eta_m$  равен  $-0.57$ , коэффициент корреляции  $L$  и  $\eta_m$  равен  $-0.49$ .



**Рис. 3.** Исследуемое течение.  $a, b$  — интеграл по  $Z$  от концентрации  $\text{CO}_2$  для двух моментов времени ( $A$  и  $B$  на рис. 2);  $c, d$  — типичное распределение  $W$  в плоскости  $X/D = 5$  для случаев с  $\text{Sh} = 0.24$  и  $0.3$  соответственно в момент прохождения поперечного вихря.

безразмерная частота  $\text{Sh} = fD/U_\infty$ . Скорость свободно-го сверхзвукового потока  $U_\infty = 500 \text{ m/s}$ .

Рассмотрим, как соотносятся критерии во времени. В момент времени  $A$  минимум  $\eta_m$  приходится на максимум  $c_{\max}$ . Это означает, что проходящая через сечение  $X/D = 5$  порция смеси с высоким содержанием  $\text{CO}_2$  приводит к ухудшению качества перемешивания. Действительно, рис. 3,  $a$  свидетельствует о том, что в

этот момент времени через данное сечение проходит крупное возмущение (поперечный вихрь). В это же время критерий  $L$  выходит на плато, т.е., несмотря на прохождение в заданном сечении порции с повышенной концентрацией  $\text{CO}_2$ , условная граница струи остается приблизительно одной и той же протяженности. Сравнительно большое значение  $L$  в этот момент времени может быть объяснено тем, что в области поперечного

вихря изоповерхность  $W$  изгибается. В частности, это видно на рис. 1, где верхняя условная граница струи имеет  $S$ -образную форму и трижды пересекает вертикальную плоскость вида  $X = \text{const}$ .

В промежутке между моментами времени  $A$  и  $B$  критерий  $L$  испытывает резкое падение, сопровождающееся выходом  $\eta_m$  на плато и минимизацией  $c_{\max}$ . Уменьшение  $L$  связано с тем, что плоскость  $X/D = 5$  перестает пересекать очередной поперечный вихрь. Этим же объясняется минимальное значение  $c_{\max}$ : вероятно, наибольшая концентрация  $\text{CO}_2$  достигается в области поперечного вихря. А выход  $\eta_m$  на плато соответствует прохождению через плоскость  $X/D = 5$  однородного участка струи между двумя поперечными вихрями.

В момент времени  $B$  критерий  $\eta_m$  достигает максимума. В это время критерий  $c_{\max}$  не достигает ни максимума, ни минимума. Действительно, по смыслу критерия  $\eta_m$  эта ситуация означает, что струя и поток перемешаны наилучшим образом, т.е. распределение  $\text{CO}_2$  в пространстве наиболее однородно. Критерий  $L$  в этот момент времени возрастает, что может быть обусловлено началом прохождения очередного поперечного вихря через плоскость  $X/D = 5$ . Это согласуется с рис. 3,  $b$ , который показывает, что к плоскости  $X/D = 5$  приближается расширяющийся участок струи.

Итак, между мгновенными значениями различных критериев отсутствует сильная корреляция (рис. 2). Теперь рассмотрим их осредненные значения в плоскости  $X/D = 5$  для нескольких наборов данных. На рис. 4 приведен график с осредненными значениями критериев для нескольких частот разрядов. Для удобства критерии приведены к безразмерному виду: для каждой частоты указано отношение осредненных критериев при данной частоте ( $\eta_m, L, c_{\max}, S$ ) к их значениям при отсутствии разрядов ( $\eta_{m,0}, L_0, c_{\max,0}, S_0$ ).

Все критерии указывают на то, что наилучшее перемешивание достигается при частотах разрядов, близких к  $\text{Sh} = 0.24$ . Эта „оптимальная“ частота близка к естественной частоте формирования поперечных вихрей в

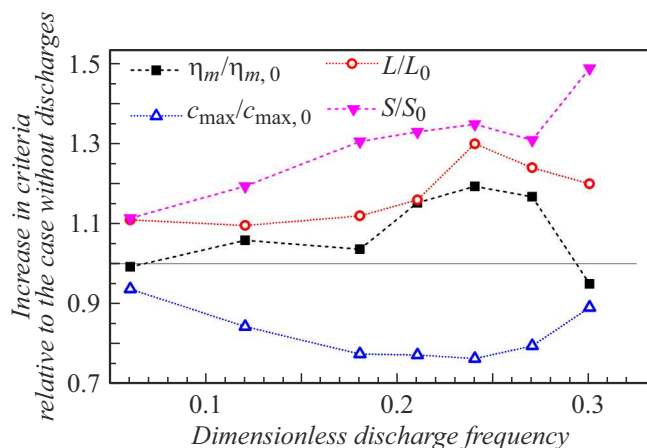


Рис. 4. Осредненные критерии перемешивания в зависимости от частоты разрядов.

сдвиговом слое с наветренной стороны струи  $\text{Sh} = 0.24$  (или, если выразить безразмерную частоту через скорость в струе,  $\text{Sh}_j = fD/U_j = 0.44$ ) [14]. Для критериев  $L$  и  $\eta_m$  максимум в диапазоне около  $\text{Sh} = 0.24$  явно выраженный. Критерии  $c_{\max}$  и  $S$ , наоборот, слабо различают случаи в диапазоне частоты разрядов от 0.18 до 0.27. При переходе от  $\text{Sh} = 0.27$  к  $\text{Sh} = 0.3$  критерий  $S$  резко возрастает, тогда как  $\eta_m, L$  и  $c_{\max}$  показывают ухудшение перемешивания. А  $\eta_m$  становится даже меньше, чем в случае без разрядов (что, следует заметить, не находит отражения в поведении  $L$  и  $c_{\max}$ ). Это объясняется существенно меньшим размером поперечного вихря по сравнению с другими случаями. Поэтому, когда очередной поперечный вихрь пересекает плоскость  $X/D = 5$  (рис. 3,  $c, d$ ), в случае  $\text{Sh} = 0.3$  вместо двух больших областей с  $W > 0.3$  остается только одна такая область: с большой площадью, но короткой границей.

Таким образом, было показано, что мгновенные значения критериев не коррелируют друг с другом во времени, поскольку по-разному реагируют на крупные возмущения на границе струи. Тем не менее при осреднении по времени  $\eta_m, L, c_{\max}$  указывают на существование „оптимального“ диапазона частот разрядов, который соответствует наилучшему перемешиванию. Величину  $c_{\max}$  можно диагностировать методом PLIF аналогично [12]. При этом требуется учитывать неоднородность лазерного излучения, однако этот критерий самый прямой и не требует дополнительных допущений и вычислений.  $S$  и  $L$  можно определять, например, путем визуализации струи с помощью засева, как в [9,10]. При этом требуется равномерность засева для корректного определения линий уровня концентрации, а вычисление  $L$  и  $S$  требует применения алгоритмов обработки изображений. Критерии  $S$  и  $c_{\max}$  наименее избирательные.  $S$  способен выдавать значения, противоречащие  $\eta_m$ . Следовательно, при проведении экспериментов предпочтительно регистрировать длину границы струи  $L$ , поскольку этот критерий является наиболее избирательным.

Результаты данного исследования могут быть полезны при планировании и проведении экспериментов, направленных на изучение разных способов ускорения перемешивания газов в высокоскоростных потоках. Подробные данные о взаимосвязи нескольких критериев перемешивания позволят более обоснованно выбирать способы диагностики и анализировать экспериментальные данные. Помимо этого представленные результаты имеют ценность для изучения метода перемешивания газов с помощью искровых разрядов и физических механизмов, ответственных за интенсификацию перемешивания.

## Финансирование работы

Работа поддержана госзаданием № 075-00269-25-00.

## Конфликт интересов

Авторы заявляют, что у них нет конфликта интересов.

## Список литературы

- [1] M. Sun, H. Wang, F. Xiao, in *Jet in supersonic crossflow* (Springer, Singapore, 2019), p. 27–199.  
DOI: 10.1007/978-981-13-6025-1
- [2] Q. Liu, D. Vaccarella, T. Lee, *Prog. Aerosp. Sci.*, **119**, 100636 (2020). DOI: 10.1016/j.paerosci.2020.100636
- [3] Н.Н. Федорова, М.А. Гольдфельд, *Письма в ЖТФ*, **47** (2), 3 (2021). DOI: 10.21883/PJTF.2021.02.50536.18525 [N.N. Fedorova, M.A. Goldfeld, *Tech. Phys. Lett.*, **47** (1), 50 (2021). DOI: 10.1134/S1063785021010193].
- [4] А.С. Акинин, Т.А. Коротаева, А.В. Старов, *Письма в ЖТФ*, **49** (17), 20 (2023). DOI: 10.21883/PJTF.2023.17.56082.19639 [A.S. Akinin, T.A. Korotaeva, A.V. Starov, *Tech. Phys. Lett.*, **49** (9), 18 (2023). DOI: 10.61011/TPL.2023.09.56701.19639].
- [5] Y. Zhou, J. Wu, W. Huang, G. Choubey, *Acta Astron.*, **214**, 389 (2024). DOI: 10.1016/j.actaastro.2023.10.046
- [6] J. Tan, D. Zhang, L. Lv, *Acta Astron.*, **152**, 310 (2018). DOI: 10.1016/j.actaastro.2018.08.036
- [7] M.C. Banica, T. Scheuermann, J. Chun, B. Weigand, J. Von Wolfersdorf, *J. Propul. Power*, **26**, 869 (2010). DOI: 10.2514/1.43599
- [8] J. Watanabe, T. Kouchi, K. Takita, G. Masuya, *AIAA J.*, **50**, 2765 (2012). DOI: 10.2514/1.J051550
- [9] V. Sivadas, B. Pani, K. Bütefisch, G. Meier, *Exp. Fluids*, **23**, 105 (1997). DOI: 10.1007/s003480050091
- [10] M. Sun, S. Zhang, Y. Zhao, Y. Zhao, J. Liang, *Sci. Chin. Technol. Sci.*, **56**, 1989 (2013). DOI: 10.1007/s11431-013-5265-7
- [11] M. Gruber, A. Nejad, T. Chen, J. Dutton, *J. Propul. Power*, **11** (2), 315 (1995). DOI: 10.2514/3.51427
- [12] M. Mungal, S. Smith, in *Manipulation and control of jets in crossflow*, ed. by A. Karagozian, L. Cortelezzi, A. Soldati (Springer, Vienna, 2003), p. 15–24.  
DOI: 10.1007/978-3-7091-2792-6\_2
- [13] Л.С. Волков, А.А. Фирсов, *Компьютерные исследования и моделирование*, **15** (4), 845 (2023). DOI: 10.20537/2076-7633-2023-15-4-845-860
- [14] Л.С. Волков, И.В. Селивонин, А.А. Фирсов, *ТВТ*, **63** (1), 24 (2025). DOI: 10.31857/S0040364425010045